

## ПОЛЯРИЗАЦИЯ СИНХРОТРОННОГО ИЗЛУЧЕНИЯ В НЕОДНОРОДНОМ МАГНИТНОМ ПОЛЕ

Г.В. Демьянинов, В.А. Орлов, А.В. Титов, К.Н. Шорин, А.С. Яров

*Все основные поляризационные характеристики синхротронного излучения, включая параметры Стокса, степени линейной и циркулярной поляризации, эллиптичность, рассчитаны с учетом деполяризующего влияния бетатронных колебаний. Расчеты подтверждаются данными эксперимента на синхротроне ФИАН с максимальной энергией 600 МэВ.*

Результаты классической теории синхротронного излучения (СИ) /1/ в приближении круговой орбиты в целом хорошо согласуются с экспериментом /2, 3/. Тем не менее имеются и систематические отклонения, впервые отмеченные в /2/ и объясняемые воздействием бетатронных колебаний /2, 4/. Однако до последнего времени данные о поляризации были неполны ввиду непоследовательности экспериментальных методик. Лишь в /5/ апробирована адекватная методика и впервые измерена степень поляризации СИ. В данной работе приводятся результаты последовательного изучения проблемы на основе расчета и измерения параметров Стокса частично поляризованного СИ.

Уравнения движения электрона в слабофокусирующем магнитном поле можно записать в виде

$$\begin{aligned} r &= R_0(1 + a \sin \theta_1), \quad z = R_0 b \sin \theta_2, \\ \theta &= \theta_0 + a \cos \theta_1 / \sqrt{1 - n} - a^2 (\sin 2\theta_1)(3 - n) / \gamma \sqrt{1 - n} - b^2 \sqrt{n} (\sin 2\theta_2) / 8, \end{aligned} \quad (1)$$

где  $R_0$  – радиус равновесной орбиты;  $a = A_r / R_0$ ;  $b = A_z / R_0$  – приведенные амплитуды радиальных и аксиальных колебаний с частотами соответственно  $\omega_r = \sqrt{1 - n} \omega_0$ ,  $\omega_z = \sqrt{n} \omega_0$  и начальными фазами  $\varphi_1$  и  $\varphi_2$ ;  $n$  – показатель поля;  $\theta_{1,2} = \omega_{r,z} t + \varphi_{1,2}$ ;  $\theta_0 = \omega'_0 t$ ;  $\omega'_0 = \omega_0 [1 + (3 - n) a^2 / 4 + nb^2 / 4]$  – "средняя" угловая скорость электрона ( $\omega'_0 = \langle \dot{\theta} \rangle$ ). "Круговая частота"  $\omega_0 = eH_0 c / E$ , где  $H_0 = H(R_0)$ ,  $E$  – полная энергия электрона, причем,  $\omega_0 \neq v_0 / R_0$ . Полная скорость  $v_0$  определяется из (1) как

$$v_0 = (\dot{r}^2 + r^2 \dot{\theta}^2 + \dot{z}^2)^{1/2} \approx \omega_0 R_0 (1 + a^2 (1 - n) / 2 + b^2 n / 2).$$

Компоненты электрического поля в волновой зоне могут быть вычислены на основе исходного соотношения

$$\mathcal{E}_\sigma = (ei/c^2 r_0)(\omega/\omega_0) \int_{-\infty}^{\infty} \left\{ \begin{array}{l} v_x(x) \\ -v_y(x) \sin \psi + v_z(x) \cos \psi \end{array} \right\} e^{i(\omega/\omega_0)(x - \omega_0 r(x)n/c)} dx, \quad (2)$$

где  $x = \omega_0 t$ ;  $n = (0, \sin \psi, \cos \psi)$ ;  $\psi$  – угол, образуемый вектором  $n$  с осью  $y$ , соответствующие мощности излучения

$$dW_\sigma / d\Omega = (cr_0^2 / 4\pi) \int_{-\infty}^{\infty} \int_{-\pi}^{\pi} |\mathcal{E}_\sigma|^2 dt. \quad (3)$$

Нетривиальный расчет приводит к следующим выражениям:

$$dW_\sigma / d\Omega = (ce^2 / 12\pi^4 R^2) \sum_{\nu=1}^{\infty} \nu^2 \int_0^{2\pi} \left\{ \begin{array}{l} u^2 K_{2/3}^2 [(\nu/3) u^{3/2}] \\ u \tilde{\psi}^2 K_{1/3}^2 [(\nu/3) u^{3/2}] \end{array} \right\} d\delta, \quad (4)$$

где  $u = (1/\gamma^2 + \tilde{\psi}^2)$ ;  $\gamma = E/m_0 c^2$  — релятивистский фактор;  $\tilde{\psi} = \psi + b\sqrt{n} \cos\delta$ ;  $K_\mu$  — модифицированные функции Бесселя. Параметры Стокса для фиксированной частоты находим по формулам:

$$\begin{aligned} S_0 &= dW_\sigma/d\Omega + dW_\pi/d\Omega, \quad S_1 = dW_\sigma/d\Omega - dW_\pi/d\Omega, \\ S_2 &= (cr_0^2/4\pi) \langle \xi_\sigma \xi_\pi^* \cos k \rangle; \quad S_3 = (cr_0^2/4\pi) \langle \xi_\sigma \xi_\pi^* \sin k \rangle, \end{aligned} \quad (5)$$

где  $k = \pi/2$  — сдвиг фаз между компонентами поля;  $\langle \dots \rangle$  означают усреднение по времени и начальным фазам; в дальнейшем будем пользоваться нормированными параметрами Стокса  $\xi_i = S_i/S_0$ ,  $i = 1, 2, 3$ . Используя (2) — (5), получаем окончательные формулы:

$$\begin{aligned} \xi_1 &= \int_0^{2\pi} (u^2 K_{2/3}^2 - u \tilde{\psi}^2 K_{1/3}^2) d\delta / \int_0^{2\pi} (u^2 K_{2/3}^2 + u \tilde{\psi}^2 K_{1/3}^2) d\delta, \\ \xi_2 &= 0, \quad \xi_3 = \int_0^{2\pi} u^{3/2} K_{2/3} K_{1/3} \tilde{\psi} d\delta / \int_0^{2\pi} (u^2 K_{2/3}^2 + u \tilde{\psi}^2 K_{1/3}^2) d\delta. \end{aligned} \quad (6)$$

Здесь для сокращения записи опущен аргумент функций  $K_\mu(\eta)$  (см. (4)). Степени линейной и круговой поляризации равны соответственно  $P_l = \sqrt{\xi_1^2 + \xi_2^2}$ ,  $P_c = |\xi_3|$ ; значение  $\xi_2 = 0$  обусловлено сдвигом фазы  $\kappa = \pi/2$ . Общая степень поляризации  $P = \sqrt{P_l^2 + P_c^2} = (\sum_{i=1}^3 \xi_i^2)^{1/2}$ . Значения  $\xi_1$ ,  $\xi_2$ , представленные в (6), имеют

место лишь в случае использованной выше системы координат; для дальнейшего изложения весьма важным будет утверждение, что, в то время как  $P_c$  и  $\xi_3$  являются инвариантами относительно вращения вокруг вектора  $v_0$ , параметры  $\xi_1$  и  $\xi_2$  не постоянны, а третьим инвариантом будет степень линейной поляризации  $P_l$ ; в плане экспериментальной методики этот аспект является определяющим.

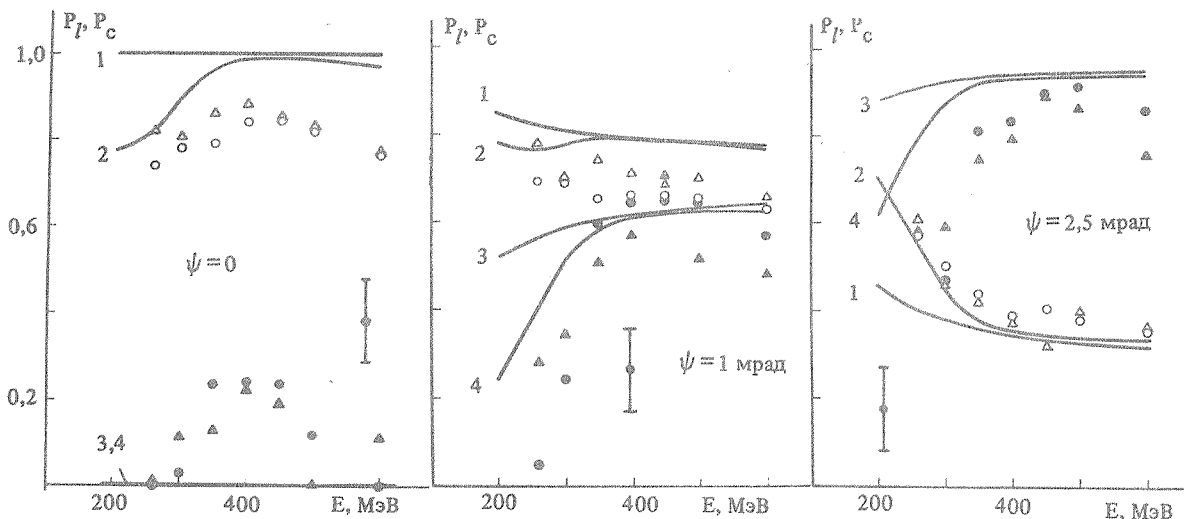


Рис. 1. Динамика степени линейной ( $P_l$ ) и циркулярной ( $P_c$ ) поляризаций СИ для трех значений угла  $\psi$  в синхротроне ФИАН на 600 МэВ в зависимости от энергии  $E$ : 1 —  $P_l$ , однородное магнитное поле (ОП),  $\sigma_z = 0$ ; 2 —  $P_l$ , неоднородное поле (НП); 3 —  $P_c$  (ОП); 4 —  $P_c$  (НП);  $\circ$  —  $P_l$  ( $\alpha \approx 0^\circ$ );  $\triangle$  —  $P_l$  ( $\alpha \approx 22.5^\circ$ );  $\bullet$  —  $P_c$  ( $\alpha \approx 0^\circ$ );  $\blacktriangle$  —  $P_c$  ( $\alpha \approx 22.5^\circ$ ); кривые — расчет по формуле (6).

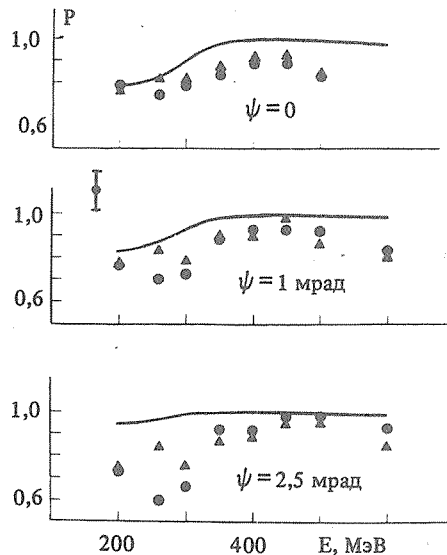


Рис. 2. Динамика полной степени поляризации Р: ● –  $a \approx 0^\circ$ , ▲ –  $a \approx 22,5^\circ$ .

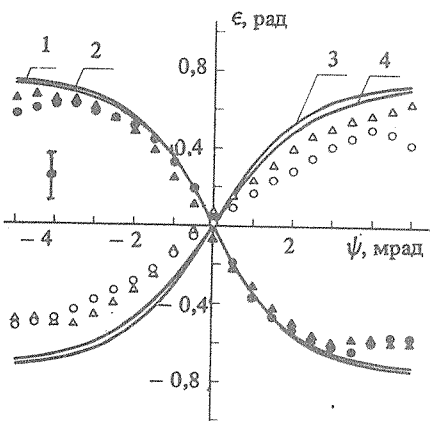


Рис. 3. Зависимость угла эллиптичности СИ от направления излучения: 1 –  $E = 600$  МэВ (ОП), 2 –  $E = 600$  МэВ (НП), ● –  $a \approx 0^\circ$ , ▲ –  $a \approx 22,5^\circ$ ; 3 –  $E = 300$  МэВ (ОП), 4 –  $E = 300$  МэВ (НП), ○ –  $a \approx 0^\circ$ , Δ –  $a \approx 22,5^\circ$ . Для случая  $E = 300$  МэВ для удобства указаны значения  $\epsilon$ .

Апробирование формул (6) проведено в эксперименте на синхротроне ФИАН, работающем в стандартном режиме. Параметры Стокса и степень поляризации измерены в диапазоне  $200 \div 600$  МэВ; при этом существенно менялась амплитуда бетатронных колебаний  $\sigma_z = (A_z^2)^{1/2} = 4,9 \div 0,6$  мм. Эти значения определялись по измерениям дисперсии нормального распределения частиц в сечении пучка фотометрическим способом.

Параметры Стокса измерялись для излучения с длиной волны  $\lambda = 476$  нм методом скоростного фотографирования; были обеспечены достаточная монохроматичность ( $\Delta\lambda \sim 6$  нм), моноэнергетичность электронов ( $\Delta E < 0,2$  МэВ) во всем диапазоне  $E$  и точность выставления углов взаимного расположения осей поляроидов и фазовращающей пластиинки ( $\Delta a \lesssim 1^\circ$ ). Измерения проведены при разных ориентациях этих осей: при примерном совпадении одной из осей с вертикалью и при ее повороте на  $\sim 22,5^\circ$  (в этом случае  $\xi_1 \approx \xi_2$ ).

На рис. 1 приведены данные измерений степени линейной и циркулярной поляризации в исследованном диапазоне энергий, на рис. 2 – соответствующие значения полной степени поляризации. Теоретические кривые рассчитаны по формулам (6). Для двух значений энергии электронов измерена еще одна важная поляризационная характеристика: угол  $\epsilon$  эллиптичности СИ (рис. 3), определяемый здесь как  $\epsilon = (1/2) \arcsin(\xi_3/P)$ . Не вызывает сомнений тот факт, что во всех случаях результаты эксперимента значительно лучше согласуются с расчетами, учитывающими влияние бетатронных колебаний (по сравнению с приближением круговой орбиты); некоторые расхождения могут быть объяснены неконтролируемыми возмущениями магнитного поля. Общий анализ теоретических и экспериментальных результатов позволяет сделать вывод о том, что основным деполяризующим фактором для СИ являются бетатронные колебания.

## ЛИТЕРАТУРА

- Соколов А. А., Тернов И. М. Релятивистский электрон. М., Наука, 1983.
- Королев Ф. А., Кулаков О. Ф., Яров А. С. ЖЭТФ, 43, 1653 (1962).
- Королев Ф. А., Кулаков О. Ф., Яров А. С. Опт. и спектр., 24, 316 (1968).
- Жуковский В. Ч., Шишанин О. Е. Опт. и спектр., 31, 857 (1971).
- Гришанин Б. А. и др. Краткие сообщения по физике ФИАН, № 7, 37 (1984).

Поступила в редакцию 18 сентября 1987 г.